

s. d. g IBM 对偶钛核的应用

廖继志

(四川大学物理系)

摘要

在本文中, s. d. g IBM 被用于计算 $^{44,46,48}\text{Ti}$ 核的能谱, 并与纯组态壳模型能谱和实验能谱作了比较。

为了解释偶偶核低激发能谱中 1^+ 态和较高自旋态的出现, 人们将 Arima 和 Iachello 提出的 s. d IBM (相互作用玻色子模型)^[1] 推广到也包含 g 玻色子的情形, 这就是 s. d. g IBM^[2,3]。这些作者认为, 集体能谱中 1^+ 态的出现是由于 d 玻色子与 g 玻色子之间的相互作用^[3]。为了进一步审查这个模型, 我们试图在 $1f_{7/2}$ 核中寻找 g 玻色子存在的证据。

含有 s、d 和 g 玻色子的体系, 可以用 $U(15)$ 群来描述。因而 s. d. g IBM 中有很多个子群链。如果假定, 在一个特定的极限情形下, 体系的相互作用哈密顿量可以表示为对应链中各子群的 Casimir 算子的线性组合, 就可以得到该极限下的能谱公式。自然, 这里存在一个问题, 就是怎样选出或多或少具有物理意义的子群链? 无论如何, 为了保证原子核中角动量守恒, 我们必须在那些包含 $O(3)$ 群的子群链中挑选。根据文献[3], 我们考虑 $SU(15)$ 的 $SU(5)$ 极限和 $SU(14)$ 极限, 即下列两个子群链:

$$SU(15) \supset SU(5) \supset SO(5) \supset SO(3),$$

$$SU(15) \supset SU(14) \supset SO(5) \supset SO(3),$$

这两种极限情形下的能谱表示式分别为

$$\begin{aligned} E_{SU(5)} = & \epsilon_2[f_1(f_1 - 1) + f_2(f_2 - 3) + f_3(f_3 - 5) + f_4(f_4 - 7)] \\ & + \epsilon_3 \frac{1}{2} [\omega_1(\omega_1 + 3) + \omega_2(\omega_2 + 1)] \\ & + \epsilon_4 \frac{1}{2} L(L + 1) \end{aligned}$$

和

$$\begin{aligned} E_{SU(14)} = & \alpha_1 n_1 + \alpha_2 n_1(n_1 - 1) + \alpha_3 \frac{1}{2} [\omega_1(\omega_1 + 3) + \omega_2(\omega_2 + 1)] \\ & + \alpha_4 \frac{1}{2} L(L + 1) \end{aligned}$$

这里常数项已被略去, 划分 $[f_1 f_2 f_3 f_4]$ 为 $SU(5)$ 群的表示, (ω_1, ω_2) 是 $SO(5)$ 群的表示, $n_1 = n_d + n_g$ 代表 $SU(14)$ 群的表示, L 则是态的角动量, n_d 和 n_g 分别是 d 玻色

表 1 $SU(15)$ 到 $SU(5)$ 到 $SO(5)$ 和 $SU(15)$ 到 $SU(14)$ 到 $SO(5)$ 的约化

$SU(15)$ N	$SU(5)$ $[f_1 f_2 f_3 f_4]$	$SO(5)$ $(\omega_1 \omega_2)$	$SU(15)$ N	$SU(14)$ n_1	$SO(5)$ $(\omega_1 \omega_2)$
2	[4000]	(00)(20)(40)	2	2	(00)(20)(22)(40)
	[2200]	(00)(20)(22)		1	(20)
				0	(00)
3	[6000]	(00)(20)(40)(60)	3	3	(00)(20) ² (22)(40)(31)(42)(60)
	[4200]	(00)(20) ² (22)(40)(42)(31)		2	(00)(20)(22)(40)
	[2220]	(00)(20)(22)		1	(20)
4	[8000]	(00)(20)(40)(60)(80)	4	0	(00)
	[6200]	(00)(20) ² (22)(31)(40) ² (51)(42)(60)(62)		4	(00) ² (20) ³ (22) ² (40) ³ (31)(32) (42) ² (60)(51)(44)(62)(80)
	[4400]	(00)(20)(22)(40)(42)(44)		3	(00)(20) ² (22)(40)(31)(42)(60)
	[4220]	(00)(20) ² (22) ² (31)(40)(32)(42)		2	(00)(20)(22)(40)
	[2222]	(00)(20)		1	(20)
				0	(00)

表 2 $SO(5)$ 到 $SO(3)$ 表示的约化

$SO(5)$ $(\omega_1 \omega_2)$	$SO(3)$ L	$SO(5)$ $(\omega_1 \omega_2)$	$SO(3)$ L
(00)	0	(42)	0、1、2 ² 、3 ² 、4 ³ 、5 ² 、6 ³ 、7 ² 、8 ¹ 、9、10
(20)	2、4	(60)	0、3、4、6 ² 、7、8、9、10、12
(22)	0、2、3、4、6	(62)	1、2 ³ 、3 ² 、4 ⁴ 、5 ⁴ 、6 ⁴ 、7 ⁴ 、8 ³ 、9 ³ 、10 ⁴ 、11 ³ 、……
(40)	2、4、5、6、8	(80)	2、4、5、6、7、8 ² 、9、10 ² 、11、12、……
(31)	1、2、3 ² 、4、5 ² 、6、7	(44)	0、2、3、4 ² 、5、6 ² 、7、8、9、10、12
(51)	1、2、3 ² 、4 ² 、5 ³ 、6 ² 、7 ³ 、8 ² 、9 ² 、10、11	(32)	1、2 ² 、3、4 ² 、5 ² 、6、7、8

子和 g 玻色子的数目。上述两个子群链中各表示的约化列在表 1 和表 2 中。

现在将上述结果应用于 $^{44,46,48}\text{Ti}$ 核的能谱。偶钛核的能谱在低能区显示集体振动特性。IBM 的能谱计算结果示于图 1、2、3 中。实验能谱 (Exp.) 和 $(1f_{7/2})^n$ 纯组态壳模型计算谱 (*SM*)^[4] 也一并画在图上, 以供比较。

从图 1 看出, 对 ^{44}Ti 核, 在大约 3MeV 以下的低能区, IBM 计算谱与实验谱^[5]的符合情况比壳模型好一些。但是, IBM 谱中没有 10^+ 、 12^+ 和 1^+ 态, 而在壳模型谱和实验谱中都出现这些态。同时, 在较高的能区, $SU(5)$ 和 $SU(14)$ 极限能谱中的态的数目也比实验能级数目少。而壳模型谱在 4MeV 以下只包含三个激发态, 与实验谱严重矛盾, 虽然这三个态与对应实验能级在能量上符合较好。所以, 从整体看, 无论 IBM 或者壳模型都不能完满地解释 ^{44}Ti 的能谱。

图 2 表明, ^{46}Ti 核的实验谱中未观测到角动量为奇数的态^[6], 但在 IBM 和 *SM* 计算谱中都包含一些奇角动量态。不过, 对 $N=3$ 玻色子体系, $L=11$ 的态不可能出现(见表 1 和表 2), 而壳模型谱中有 11^+ 态。*SM* 与 IBM 的另一差别是前者的第一 0^+ 激发态的激发能高达 4.58MeV, 约比后者的预言值(也比实验值)大一倍。从图 2 还可看出, 在低能区, IBM 谱, 特别是 $SU(14)$ 极限能谱, 所包含的态的数目太多, 既比实验谱多, 也比 *SM* 谱多。从总体看, *SM* 和 $SU(5)$ 极限与实验的符合比 $SU(14)$ 要好一些。

完全
3). 与实能级
yраст验
色子在低色子大子的色子

[1]
[2]
[3]
[4]
[5]
[6]
[7]

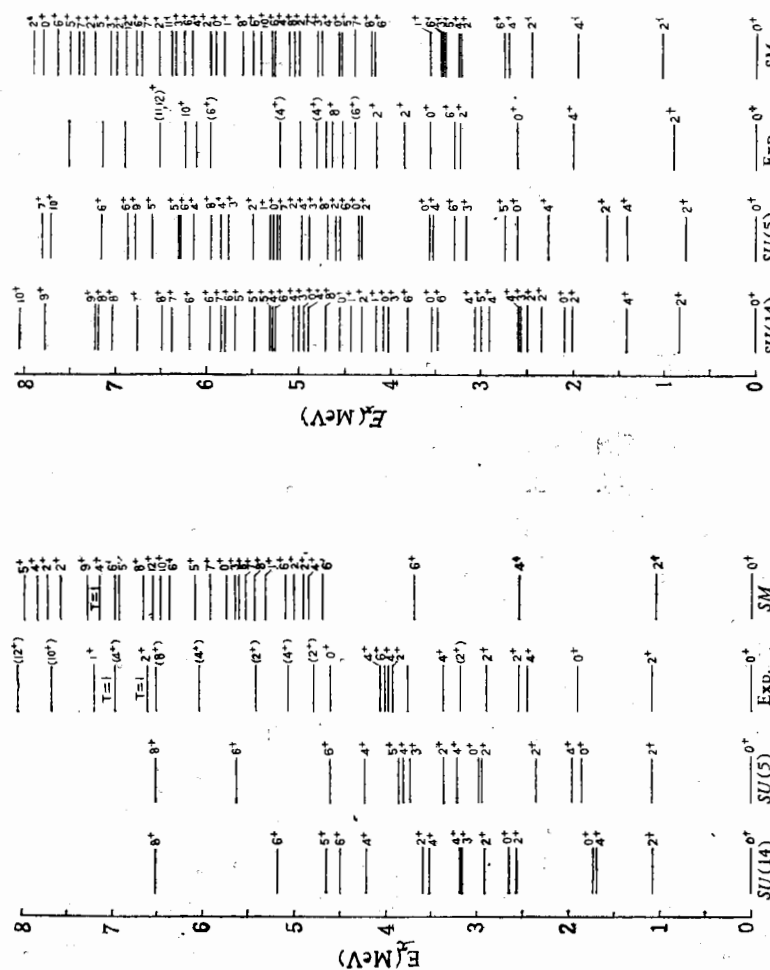


图 1 ^{44}Ti 的能谱。SU(14): $\alpha_1 = 0.2748$, $\alpha_2 = 0.6146$, $\alpha_3 = 0.1139$, $\alpha_4 = 0.0886$; SU(5): $\theta_2 = -0.1545$, $\theta_3 = 0.1410$, $\theta_4 = 0.1259$ 。

图 2 ^{46}Ti 的能谱。SU(14): $\alpha_1 = 0.8550$, $\alpha_2 = 0.4056$, $\alpha_3 = -0.0541$, $\alpha_4 = 0.0821$; SU(5): $\theta_2 = -0.1785$, $\theta_3 = 0.0967$, $\theta_4 = 0.0927$ 。

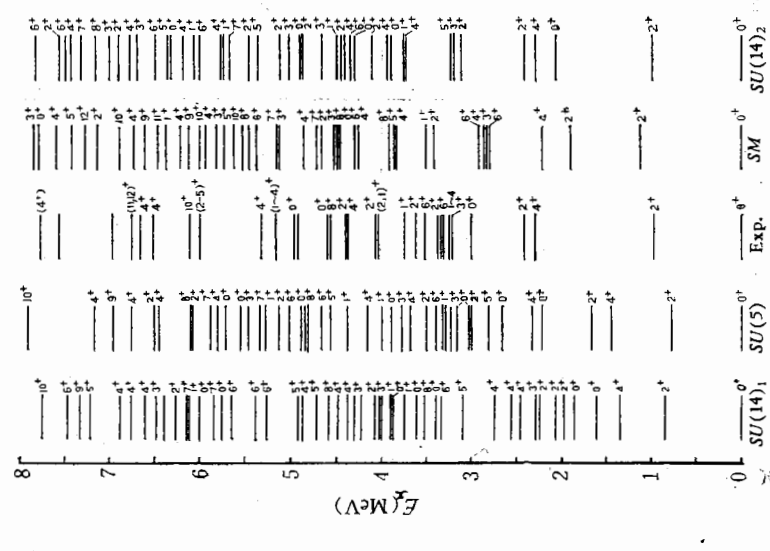


图 3 ^{48}Ti 的能谱。SU(14): ① $\alpha_1 = 0.4958$, $\alpha_2 = 0.3146$, $\alpha_3 = 0.0293$, $\alpha_4 = 0.0704$; ② $\alpha_1 = 2.9768$, $\alpha_2 = -0.1381$, $\alpha_3 = -0.2233$, $\alpha_4 = 0.1869$; SU(5): $\theta_2 = -0.0793$, $\theta_3 = 0.0985$, $\theta_4 = 0.0953$

在⁴⁸Ti核的能谱中,已观测到两个1⁺态,一个在激发能为3.74MeV处^[7],另一个未完全肯定的1⁺态在4.04MeV处;同时,还测到一个激发能为3.224MeV的3⁺态(见图3).这些态在IBM的两个极限和SM中都能得到解释.可以看出,SU(5)极限能谱与实验符合的情况比SU(14)谱好,但比SM谱差.问题仍然在于IBM谱在低能区的能量级太多.当然,我们可以改变参数的值使低能区能级密度降低,但这将使6⁺、8⁺等yrast态的能量大大高于实验值,图3中的SU(14)₂就是一个例子.它的第一6⁺态比实验高1MeV左右,第一8⁺态的能量比实验值高2.5MeV.

最后,我们可以得出结论:在质量数为48附近的偶钛核中,存在着d玻色子和g玻色子相互作用的一些迹象;但是,能谱的特征不能被s. d. g IBM完全描述;与SM相比,在低能区,质量数较小时IBM优于SM,质量数较大时SM更好一些.另外,为了在玻色子数N为定值的体系中得到更高自旋的态(如在⁴⁸Ti的情形下所需要的),需要引入更大角动量的玻色子,然而,这无论是在理论上还是在实验上都是不可取的.还有,g玻色子的引入,虽然解决了1⁺态的问题,但仍然缺少一些态,如三玻色子体系无11⁺态,二玻色子体系无大于9⁺的态和1⁺、7⁺态等.

参 考 文 献

- [1] A. Arima and F. Iachello, *Ann. of Phys.*, 99(1976), 253; 111(1978), 201; 123 (1979), 468.
- [2] 凌寅生, 高能物理与核物理, 6(1982), 77.
- [3] 顾金南等, 高能物理与核物理, 6(1982), 453.
- [4] 廖继志, 高能物理与核物理, 3(1979), 734.
- [5] J. J. Kolata et al., *Phys. Rev.*, C10(1974), 1663.
- [6] W. Dehnhardt et al., *Phys. Rev.*, C7 (1973), 1471.
G. Fortuna et al., *Nuovo Cim.*, 34A (1976), 321.
- [7] D. H. Kong-A-Siou et al., *Nucl. Phys.*, A197 (1972), 568. G. Fortuna et al., *Nuovo Cim.*, 34A (1976), 321.

APPLICATIONS OF *s. d. g* IBM TO EVEN TITANIUM NUCLEI

LIAO JI-ZHI

(Sichuan University)

ABSTRACT

In this paper the *s. d. g.* IBM is used to calculate the energy spectra of the light nuclei ^{44,46,48}Ti, and the results are compared with the calculations based on the pure configuration shell model, and with the experimental spectra.